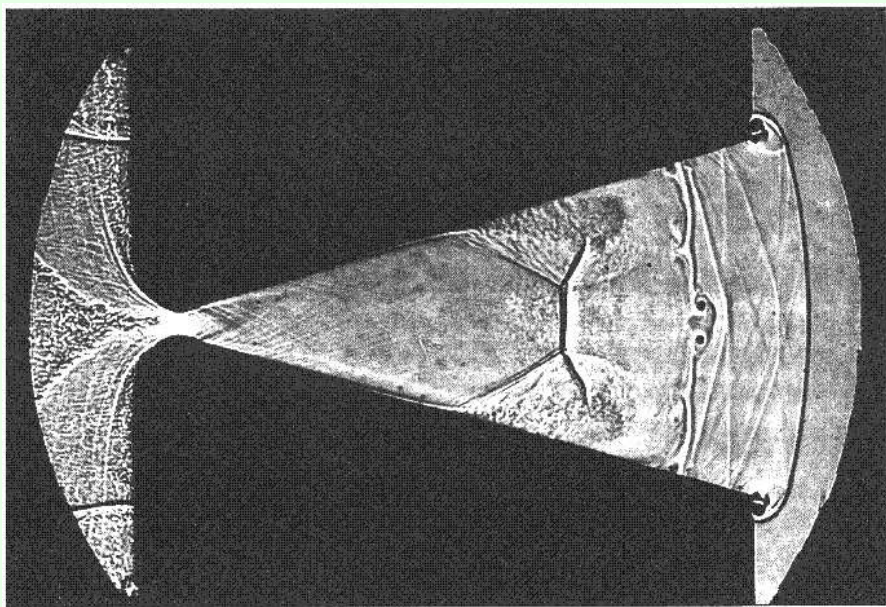


Схемы высокого порядка

- Стандартные TVD схемы, имеющие второй порядок точности вдали от разрывов и экстремумов решения) хорошо подходят для расчета сверхзвуковых течений с небольшим числом изолированных ударных волн. Однако, задачи, содержащие как ударные волны, так и многочисленные сложные структуры в областях, где решение гладкое, требуют применения более точных вычислительных инструментов. Их необходимость особенно очевидна для таких приложений как
 - прямое численное моделирование (DNS) и моделирование методом крупных вихрей (LES) сжимаемых переходных и турбулентных течений,
 - моделирование отрывных и струйных течений,
 - вычислительная аэроакустика,
 - моделирование сверхзвукового горения и детонации,
 - ... и для многих других!
- Важной целью является развитие алгоритмов и расчетных программ, способных надежно проводить сквозной счет сильных ударных волн и, одновременно, с высокой точностью моделировать гладкую часть сверхзвуковых течений, включающих сложные

взаимодействия ударных волн между собой, с пограничными слоями, вихрями, акустическими волнами и волнами гидродинамической неустойчивости. Современные ENO (essentially non-oscillatory) и WENO (weighted ENO) схемы представляются естественными кандидатами на роль базового вычислительного инструмента в таких алгоритмах и программах.

Пример: стартовый процесс в плоском сопле



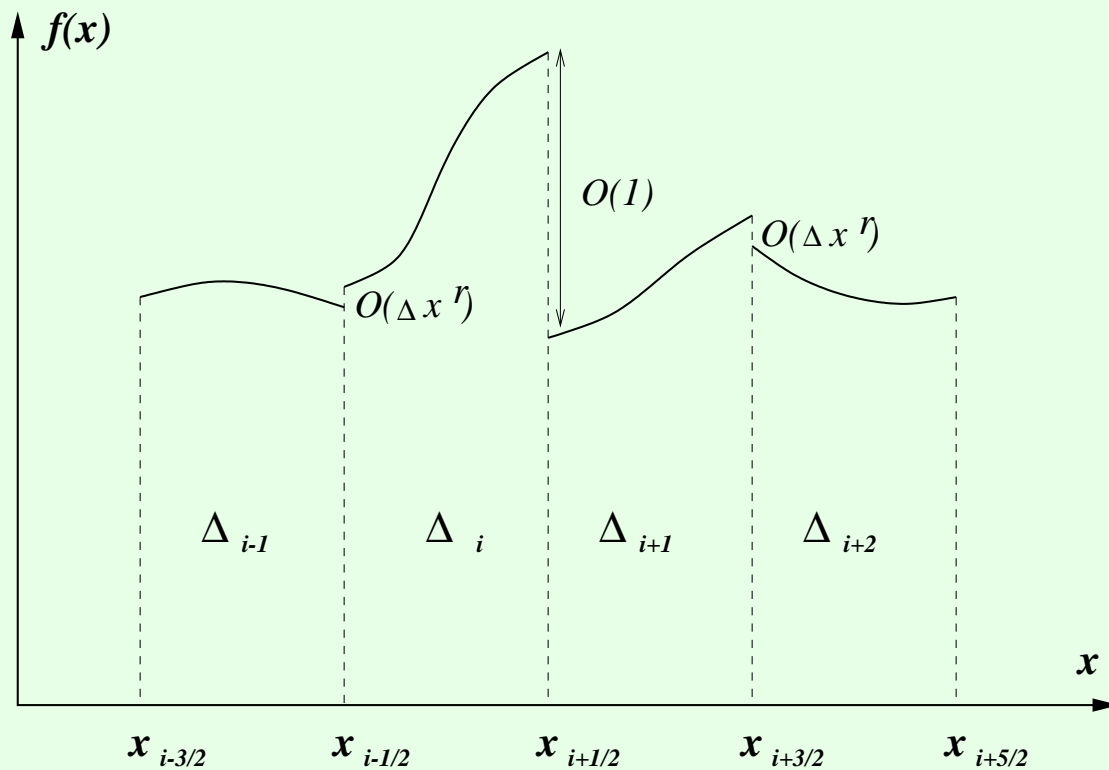
Процесс запуска сопла

Падающая ударная волна, движущаяся с числом Маха скачка, равным 3, только что прошла через плоское сопло. За этой волной имеется несколько контактных поверхностей, содержащих вихри; между этими поверхностями и горлом сопла — вторая ударная волна, направленная против течения, но сносимая вниз по потоку и вызывающая отрыв пограничных слоев.

Идущие от стенок волны Маха указывают на установление сверхзвукового течения вниз по потоку от горла. (Аманн, Н.-О., воспроизведено по "Альбому течений жидкости и газа", составленному М. Ван-Дайком).

ENO схемы

Основная идея: использовать кусочно-полиномиальную реконструкцию и избежать интерполирования через разрывы.



Определение:

Разностный метод является ENO схемой, если выполняется свойство

$$TV(U^{n+1}) \leq TV(U^n) + O(\Delta x^r)$$

для всех n и некоторого r .

Сравнение различных ENO и WENO схем

- **Конечнообъемные ENO схемы** (Harten et al., 1987):
 - используют локальный адаптивный шаблон для реконструкции переменных на границах ячеек $U_{j+1/2}^{L,R}$ из средних по ячейкам \bar{U}_j ;
 - используют приближенное решение задачи Римана, чтобы вычислить численные потоки $F_{j+1/2} = F(U_{j+1/2}^L, U_{j+1/2}^R)$.
- **Конечноразностные ENO схемы** (Shu and Osher, 1988):
 - используют расщепление потоков в центрах ячеек, чтобы выделить их "положительную" и "отрицательную" части;
 - используют локальный адаптивный шаблон для реконструкции численных потоков $\hat{F}_{j+1/2}$ из "расщепленных" потоков в центрах ячеек.
- **Конечнообъемные WENO схемы** (Liu, Osher and Chan, 1994):
 - используют выпуклую линейную комбинацию шаблонов с адаптивными коэффициентами для реконструкции $U_{j+1/2}^{L,R}$;
 - используют приближенное решение задачи Римана подобно конечнообъемным ENO.

- **Конечноразностные WENO schemes** (Jiang and Shu, 1996):
 - используют расщепление потоков подобно конечноразностным ENO;
 - используют выпуклую линейную комбинацию шаблонов с адаптивными коэффициентами для реконструкции $\hat{F}_{i+1/2}$.

Если решение достаточно гладкое:

$$\begin{aligned}
 \text{для конечнообъемных ENO и WENO схем} &\rightarrow \begin{aligned} \bar{U}_j &= u(x_j) + O(\Delta x^2) \\ U_{j+1/2}^{L,R} &= u(x_{j+1/2}) + O(\Delta x^r) \\ F_{j+1/2} &= f(x_{j+1/2}) + O(\Delta x^r) \end{aligned} \\
 \text{для конечноразностных ENO и WENO схем} &\rightarrow \begin{aligned} \hat{F}_{j+1/2} &= f(x_{j+1/2}) + O(\Delta x^2) \\ \frac{\hat{F}_{j+1/2} - \hat{F}_{j-1/2}}{\Delta x} &= \frac{\partial f}{\partial x}(x_{j+1/2}) + O(\Delta x^r) \end{aligned}
 \end{aligned}$$

(где r — порядок аппроксимации схемы).

Две задачи полиномиальной реконструкции

- **Задача 1.** Даны средние по ячейкам от функции $u(x)$:

$$\overline{U}_j = \frac{1}{\Delta x} \int_{x_{j-1/2}}^{x_{j+1/2}} u(\xi) dx, \quad j = 1, 2, \dots, N.$$

Для каждой ячейки $\Delta_j = [x_{j-1/2}, x_{j+1/2}]$ найти полином $p_j(x)$ степени не выше $k - 1$, аппроксимирующий $u(x)$ внутри ячейки с k -ым порядком точности:

$$p_j(x) = u(x) + O(\Delta x^k), \quad x \in \Delta_j, \quad j = 1, 2, \dots, N.$$

В частности,

$$U_{j-1/2}^R \equiv p_j(x_{j-1/2}) = u(x_{j-1/2}) + O(\Delta x^k), \quad U_{j+1/2}^L \equiv p_j(x_{j+1/2}) = u(x_{j+1/2}) + O(\Delta x^k).$$

- **Задача 2.** Даны значения функции $u(x)$ в центрах ячеек $U_j \equiv u(x_j)$. Найти величины $\widehat{U}_{j+1/2} = \widehat{U}(U_{j-r}, \dots, U_{j+s})$, $j = 0, \dots, N$, разность которых аппроксимирует производную $u'(x)$ с k -ым порядком точности:

$$\frac{1}{\Delta x} \left(\widehat{U}_{j+1/2} - \widehat{U}_{j-1/2} \right) = u'(x_j) + O(\Delta x^k), \quad j = 1, 2, \dots, N.$$

Реконструкция из средних по ячейкам

Пусть k задано. Выберем шаблон $S(j) \equiv \{\Delta_{j-r}, \dots, \Delta_{j+s}\}$, состоящий из ячейки Δ_j , r ячеек слева и s ячеек справа. Существует единственный полином $p(x)$ степени $k - 1 = r + s$, чьи средние по каждой ячейке шаблона совпадают со средними функции $u(x)$:

$$\frac{1}{\Delta x} \int_{x_{i-1/2}}^{x_{i+1/2}} p(\xi) d\xi = \bar{U}_i, \quad i = j - r, \dots, j + s.$$

Этот полином и дает искомую реконструкцию. Что касается значений на гранях ячейки, то они оказываются линейными комбинациями средних по ячейкам, с коэффициентами c_{ri} , \tilde{c}_{ri} , не зависящими от самой функции $u(x)$:

$$U_{j+1/2}^R = \sum_{i=0}^{k-1} c_{ri} \bar{U}_{j-r+i}, \quad U_{j-1/2}^L = \sum_{i=0}^{k-1} \tilde{c}_{ri} \bar{U}_{j-r+i}.$$

Если мы идентифицируем r не с ячейкой Δ_j , а с точкой $x_{j+1/2}$, т.е. используем шаблон $S(j)$, чтобы аппроксимировать значение в точке $x_{j+1/2}$, тогда можно опустить индексы \pm . Очевидно в этом случае $\tilde{c}_{ri} = c_{r-1,i}$. Итак,

$$\bar{U}_{j-r}, \dots, \bar{U}_{j-r+k-1}, \quad \Rightarrow \quad U_{j+1/2} = \sum_{i=0}^{k-1} c_{ri} \bar{U}_{j-r+i}, \quad U_{j+1/2} = U(x_{j+1/2}) + O(\Delta x^k).$$

Как практически построить $p(x)$ и вычислить коэффициенты c_{ri} ?

Использование первообразной функции

Определим первообразную $\mathcal{U}(x) = \int_{-\infty}^x u(\xi) d\xi$. Очевидно

$$\mathcal{U}(x_{j+1/2}) = \sum_{i=-\infty}^j \int_{x_{i-1/2}}^{x_{i+1/2}} u(\xi) d\xi = \sum_{i=-\infty}^j \bar{U}_i \Delta x$$

Построим интерполяционный полином Лагранжа $\mathcal{P}(x)$ степени k по значениям $\mathcal{U}(x_{j+1/2})$ в $k+1$ точке $x_{j-r-1/2}, \dots, x_{j+s+1/2}$ и положим $p(x) = \mathcal{P}'(x)$. Легко проверить, что

$$\frac{1}{\Delta x} \int_{x_{i-1/2}}^{x_{i+1/2}} p(\xi) d\xi = \frac{1}{\Delta x} \int_{x_{i-1/2}}^{x_{i+1/2}} \mathcal{P}'(\xi) d\xi = \frac{1}{\Delta x} (\mathcal{U}(x_{i+1/2}) - \mathcal{U}(x_{i-1/2})) =$$

$$\frac{1}{\Delta x} \left(\int_{-\infty}^{x_{i+1/2}} u(\xi) d\xi - \int_{-\infty}^{x_{i-1/2}} u(\xi) d\xi \right) = \frac{1}{\Delta x} \int_{x_{i-1/2}}^{x_{i+1/2}} u(\xi) d\xi = \bar{U}_i, \quad i = j-r, \dots, j+s.$$

Для коэффициентов c_{ri} вычисления дают

$$c_{ri} = \sum_{m=i+1}^k \frac{\sum_{l=0, l \neq m}^k \prod_{q=0, q \neq m, l}^k (r-q+1)}{\prod_{l=0, l \neq 0}^k (m-l)}$$

Таблица коэффициентов c_{rj}

k	r	i=0	i=1	i=2	i=3
1	-1	1			
	0	1			
2	-1	3/2	-1/2		
	0	1/2	1/2		
	1	-1/2	3/2		
3	-1	11/6	-7/6	1/3	
	0	1/3	5/6	-1/6	
	1	-1/6	5/6	1/3	
	2	1/3	-7/6	11/6	
4	-1	25/12	-23/12	13/12	-1/4
	0	1/4	13/12	-5/12	1/12
	1	-1/12	7/12	7/12	-1/12
	2	1/12	-5/12	13/12	1/4
	3	-1/4	13/12	-23/12	25/12

Примеры:

$k = 2$

$$r = -1 : U_{j+1/2} = \frac{3}{2} \bar{U}_{j+1} - \frac{1}{2} \bar{U}_{j+2}$$

$$r = 0 : U_{j+1/2} = \frac{1}{2} \bar{U}_j + \frac{1}{2} \bar{U}_{j+1}$$

$$r = 1 : U_{j+1/2} = -\frac{1}{2} \bar{U}_{j-1} + \frac{3}{2} \bar{U}_j + O(\Delta x^2)$$

$k = 3$

$$r = -1 : U_{j+1/2} = \frac{11}{6} \bar{U}_{j+1} - \frac{7}{6} \bar{U}_{j+2} + \frac{1}{3} \bar{U}_{j+3}$$

$$r = 0 : U_{j+1/2} = \frac{1}{3} \bar{U}_j + \frac{5}{6} \bar{U}_{j+1} - \frac{1}{6} \bar{U}_{j+2}$$

$$r = 1 : U_{j+1/2} = -\frac{1}{6} \bar{U}_{j-1} + \frac{5}{6} \bar{U}_j + \frac{1}{3} \bar{U}_{j+1}$$

$$r = 2 : U_{j+1/2} = \frac{1}{3} \bar{U}_{j-2} - \frac{7}{6} \bar{U}_{j-1} + \frac{11}{6} \bar{U}_j + O(\Delta x^3)$$

Консервативная аппроксимация производной

Если можно найти функцию $h(x)$, такую что $u(x) = \frac{1}{\Delta x} \int_{x-\Delta x/2}^{x+\Delta x/2} h(\xi) d\xi$, тогда очевидно $u'(x) = \frac{1}{\Delta x} \left[h\left(x + \frac{\Delta x}{2}\right) - h\left(x - \frac{\Delta x}{2}\right) \right]$ и

$$\widehat{U}_{j+1/2} = h(x_{j+1/2}) + O(\Delta x^k) \Rightarrow \frac{1}{\Delta x} \left(\widehat{U}_{j+1/2} - \widehat{U}_{j-1/2} \right) = u'(x_j) + O(\Delta x^k).$$

Поскольку $u(x)$ — "скользящее среднее" функции $h(x)$, то для нахождения $h(x)$ можно снова использовать реконструкцию через первообразную. Определим $\mathcal{H}(x) = \int_{-\infty}^x h(\xi) d\xi$, тогда

$$\mathcal{H}(x_{j+1/2}) = \sum_{i=-\infty}^j \int_{x_{j-1/2}}^{x_{j+1/2}} h(\xi) d\xi = \Delta x \sum_{i=-\infty}^j U_i.$$

Действуя как раньше, находим аппроксимацию k -ого порядка, которую затем берем в качестве "численного потока" :

$$\widehat{U}_{j+1/2} = \sum_{i=0}^{k-1} c_{ri} U_{j-r+i}.$$

Например, $\widehat{U}_{j+1/2} = -\frac{1}{6} U_{j-1} + \frac{5}{6} U_j + \frac{1}{3} U_{j+1}$, $\frac{1}{\Delta x} \left(\widehat{U}_{j+1/2} - \widehat{U}_{j-1/2} \right) = u'(x_j) + O(\Delta x^3).$

Адаптивный шаблон

- Как выбрать шаблон так, чтобы избежать реконструкции поперек разрывов?

- Определим разделенные разности

$$i = 0 : \quad \mathcal{U}[x_{j-1/2}] \equiv \mathcal{U}(x_{j-1/2})$$

$$i \geq 1 : \quad \mathcal{U}[x_{j-1/2}, \dots, x_{j-1/2+i}] \equiv \frac{\mathcal{U}[x_{j+1/2}, \dots, x_{j-1/2+i}] - \mathcal{U}[x_{j-1/2}, \dots, x_{j-3/2+i}]}{x_{j-1/2+i} - x_{j-1/2}}$$

Очевидно, $\mathcal{U}[x_{j-1/2}, x_{j+1/2}] = \frac{\mathcal{U}(x_{j+1/2}) - \mathcal{U}(x_{j-1/2})}{x_{j-1/2+i} - x_{j-1/2}} = \bar{U}_j$, так что высшие разделенные разности \mathcal{U} выражаются через разности \bar{U} .

- Разделенные разности могут служить мерой гладкости решения, поскольку

$$\mathcal{U}[x_{j-1/2}, \dots, x_{j-1/2+i}] = \mathcal{U}^{(i)}(\xi)/i!$$

для некоторого ξ внутри шаблона $x_{j-1/2} < \xi < j - 1/2 + i$, если функция гладкая, и

$$\mathcal{U}[x_{j-1/2}, \dots, x_{j-1/2+i}] = O(1/\Delta x^i),$$

если внутри шаблона существует разрыв.

Адаптивный шаблон

Тогда шаблон может быть определен с помощью последовательной процедуры:

1. В ячейке Δ_j начинаем с двухточечного шаблона $\tilde{S}_2(j) = \{x_{j-1/2}, x_{j+1/2}\}$ для \mathcal{U} , который эквивалентен $S_1(j) = \{x_j\}$ для u .
2. Для $l = 2, \dots, k$, предполагая шаблон $\tilde{S}_l(j) = \{x_{i+1/2}, \dots, x_{i-1/2+l}\}$ известным, добавляем одну из двух соседних точек, $x_{i-1/2}$ или $x_{i+1/2+l}$ в соответствии с
 - Если $|\mathcal{U}[x_{j-1/2}, \dots, x_{j-1/2+l}]| < |\mathcal{U}[x_{j+1/2}, \dots, x_{j+1/2+l}]|$, то добавить $x_{i-1/2}$ к шаблону $\tilde{S}_l(j)$ и получить $\tilde{S}_{l+1}(j) = \{x_{j-1/2}, \dots, x_{j-1/2+l}\}$.
 - Иначе добавить $x_{j+1/2+l}$ к шаблону $\tilde{S}_l(j)$ и получить $\tilde{S}_{l+1}(j) = \{x_{j+1/2}, \dots, x_{j+1/2+l}\}$.
3. Определить, используя таблицу коэффициентов, $U_{j-1/2}^R, U_{j+1/2}^L$. Если нужно, можно также построить $\mathcal{P}_j(x)$ и $p_j(x)$.

Свойства ENO реконструкции

Для ENO реконструкции выполняются свойства

1. $\mathcal{P}_j(x) = \mathcal{U}(x) + O(\Delta x^{k+1})$, $x \in \Delta_j$ для любой ячейки, не содержащей разрыва. Полная точность вплоть до разрыва.
2. $\mathcal{P}_j(x)$ монотонна в любой ячейке, содержащей разрыв $\mathcal{U}(x)$.
3. Данная реконструкция TVB (total variation bounded). Это означает, что существует функция $z(x)$, удовлетворяющая

$$z(x) = \mathcal{P}_j(x) + O(\Delta x^{k+1}), \quad x \in \Delta_i$$

для любой ячейки, включая содержащие разрывы, такая что

$$TV(z) \leq TV(\mathcal{U}).$$

WENO реконструкция

- **Ключевая идея:** вместо использования только одного из "шаблонов-кандидатов", использовать их выпуклую комбинацию.

$$S_r(j) = \{x_{j-r}, \dots, x_{j-r+k-1}\}, \quad \Rightarrow \quad U_{j+1/2}^{(r)} = \sum_{i=0}^{k-1} c_{ri} \bar{U}_{j-r+i}, \quad r = 0, \dots, k-1$$

$$U_{j+1/2} = \sum_{r=0}^{k-1} \omega_r U_{j+1/2}^{(r)}, \quad \omega_r \geq 0, \quad \sum_{r=0}^{k-1} \omega_r = 1$$

- Если функция $u(x)$ гладкая, существуют константы Ω_r , такие что

$$U_{j+1/2} = \sum_{r=0}^{k-1} \Omega_r U_{j+1/2}^{(r)} = u(x_{j+1/2}) + O(\Delta x^{2k-1}).$$

$$\Omega_0 = 1, \quad k = 1;$$

$$\Omega_0 = 2/3, \quad \Omega_1 = 1/3, \quad k = 2;$$

$$\Omega_0 = 3/10, \quad \Omega_1 = 3/5, \quad \Omega_2 = 1/10, \quad k = 3.$$

WENO реконструкция

- Для гладкого случая желательно иметь

$$\omega_r = \Omega_r + O(\Delta x^{k-1}), \quad \Rightarrow \quad U_{j+1/2} = \sum_{r=0}^{k-1} \omega_r U_{j+1/2}^{(r)} = u(x_{j+1/2}) + O(\Delta x^{2k-1}).$$

- Если какой-то шаблон содержит разрыв, соответствующий весовой коэффициент должен быть близким к нулю.
- Хорошо работают весовые коэффициенты, выбранные как

$$\omega_r = \frac{\sigma_r}{\sum_{s=0}^{k-1} \sigma_s}, \quad \sigma_r = \frac{\Omega_r}{(\varepsilon + IS^{(r)})^2}, \quad \varepsilon \approx 10^{-6}, \quad r = 0, \dots, k-1.$$

- Для гладкой функции $IS^{(r)} = O(\Delta x^2)$, $\omega_r = O(1)$.
- В случае разрыва $IS^{(r)} = O(1)$, $\omega_r = O(\Delta x^4)$.

Индикаторы гладкости

$$IS^{(r)} = \sum_{l=1}^{k-1} \int_{x_{j-1/2}}^{x_{j+1/2}} \Delta x^{2l-1} \left(\frac{\partial^l p_r(x)}{\partial x^l} \right)^2 dx$$

k=2:

$$IS^{(0)} = (\bar{U}_{j+1} - \bar{U}_j),$$

$$IS^{(1)} = (\bar{U}_j - \bar{U}_{j-1}).$$

k=3:

$$IS^{(0)} = \frac{13}{12}(\bar{U}_j - 2\bar{U}_{j+1} + \bar{U}_{j+2})^2 + \frac{1}{4}(3\bar{U}_j - 4\bar{U}_{j+1} + \bar{U}_{j+2})^2,$$

$$IS^{(1)} = \frac{13}{12}(\bar{U}_{j-1} - 2\bar{U}_j + \bar{U}_{j+1})^2 + \frac{1}{4}(\bar{U}_{j-1} - \bar{U}_{j+1})^2,$$

$$IS^{(0)} = \frac{13}{12}(\bar{U}_{j-2} - 2\bar{U}_{j-1} + \bar{U}_j)^2 + \frac{1}{4}(\bar{U}_{j-2} - 4\bar{U}_{j-1} + 3\bar{U}_j)^2.$$

Конечнообъемные схемы

1. Используя ENO или WENO реконструкцию получить из \bar{U}_j величины $U_{j+1/2}^L$ и $U_{j+1/2}^R$;
2. Вычислить потоки $F_{j+1/2}$, решая (приближенно) задачу о распаде разрыва на гранях между ячейками;
3. Проинтегрировать по времени уравнение

$$\frac{d\bar{U}_j}{dt} = -\frac{1}{\Delta x}(F_{j+1/2} - F_{j-1/2}).$$

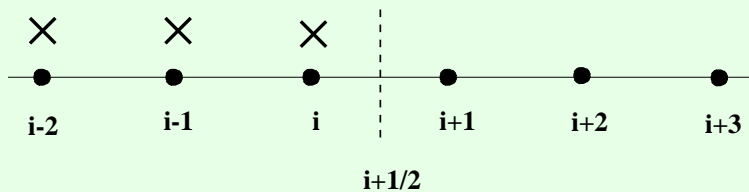
Конечноразностные схемы

1. Расщепить поток на положительную и отрицательную части: $f(u) = f^+(u) + f^-(u)$,
 $\partial f^+ / \partial u \geq 0$, $\partial f^- / \partial u \leq 0$;
2. Положить $\bar{V}_j = f^+(u_j)$ и используя ENO или WENO реконструкцию получить величины $\hat{F}_{j+1/2}^+ = U_{j+1/2}^L$;
3. Положить $\bar{V}_j = f^-(u_j)$ и используя ENO или WENO реконструкцию получить величины $\hat{F}_{j+1/2}^- = U_{j+1/2}^R$;
4. Образовать полный поток $\hat{F}_{j+1/2} = \hat{F}_{j+1/2}^+ + \hat{F}_{j+1/2}^-$;
5. Проинтегрировать по времени уравнение

$$\frac{dU_j}{dt} = -\frac{1}{\Delta x}(\hat{F}_{j+1/2} - \hat{F}_{j-1/2}).$$

Конечноразностная WENO схема 5-го порядка

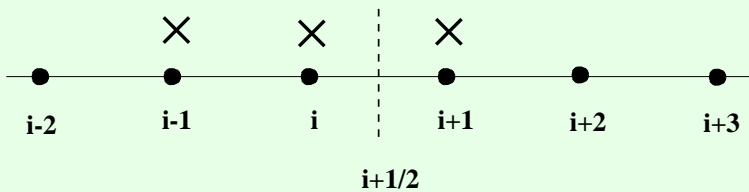
$S^{(1)}$



Скалярный закон сохранения

$$\frac{\partial u}{\partial t} + \frac{\partial f(u)}{\partial x} = 0, \quad \lambda = \frac{\partial f}{\partial u} \geq 0, \quad \frac{\partial f}{\partial x} \sim \frac{\hat{f}_{i+1/2} - \hat{f}_{i-1/2}}{\Delta x}$$

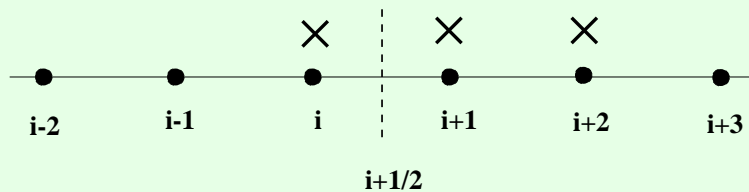
$S^{(2)}$



ENO:

$$\hat{f}_{i+1/2} = \begin{cases} f_{i+1/2}^{(1)} = \frac{11}{6}f_i - \frac{7}{6}f_{i-1} + \frac{2}{6}f_{i-2} & \text{или} \\ f_{i+1/2}^{(2)} = \frac{2}{6}f_{i+1} + \frac{5}{6}f_i - \frac{1}{6}f_{i-1} & \text{или} \\ f_{i+1/2}^{(3)} = -\frac{1}{6}f_{i+2} + \frac{5}{6}f_{i+1} + \frac{2}{6}f_i \end{cases}$$

$S^{(3)}$



WENO:

$$\hat{f}_{i+1/2} = \sum_{\nu=1}^3 \omega^{(\nu)} f_{i+1/2}^{(\nu)}$$

Конечноразностная WENO схема 5-го порядка

$$\omega^{(\nu)} = \frac{\sigma^{(\nu)}}{\sigma^{(1)} + \sigma^{(2)} + \sigma^{(3)}}, \quad \sigma^{(\nu)} = \frac{\Omega^{(\nu)}}{[\varepsilon + IS^{(\nu)}]^p}, \quad p = 2, \quad \varepsilon \sim 10^{-6}$$

Оптимальные коэффициенты:

$$\Omega^{(1)} = 1/10$$

$$\Omega^{(2)} = 6/10$$

$$\Omega^{(3)} = 3/10$$

Индикатор гладкости:

$$IS^{(\nu)} = \int_{x_{i-1/2}}^{x_{i+1/2}} \left[\Delta x \left(\frac{df}{dx} \right)^2 + \Delta x^3 \left(\frac{d^2 f}{dx^2} \right)^2 \right] dx$$

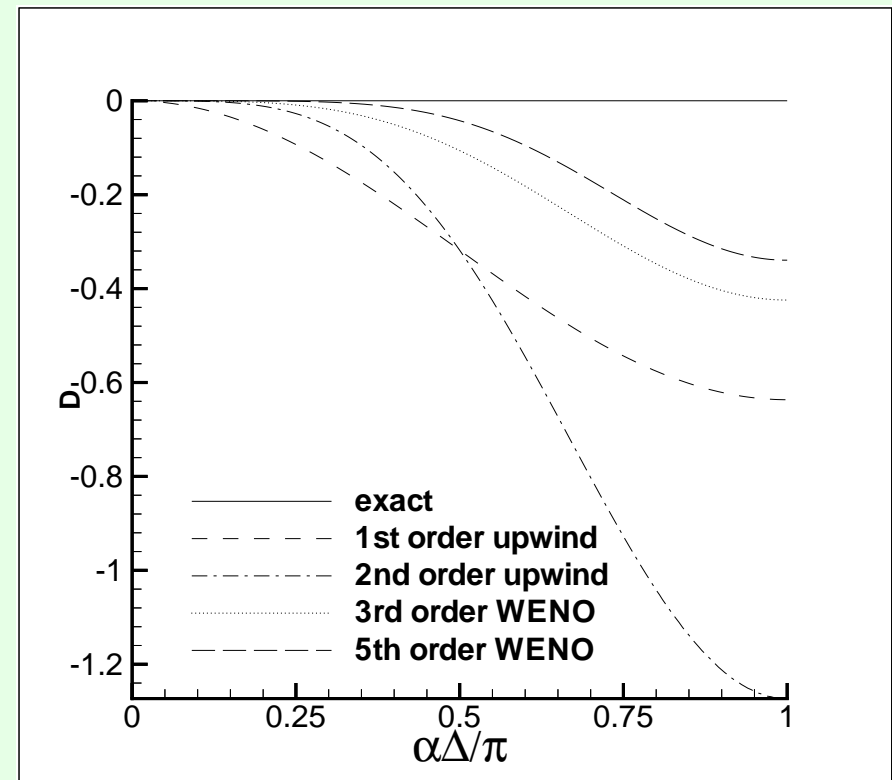
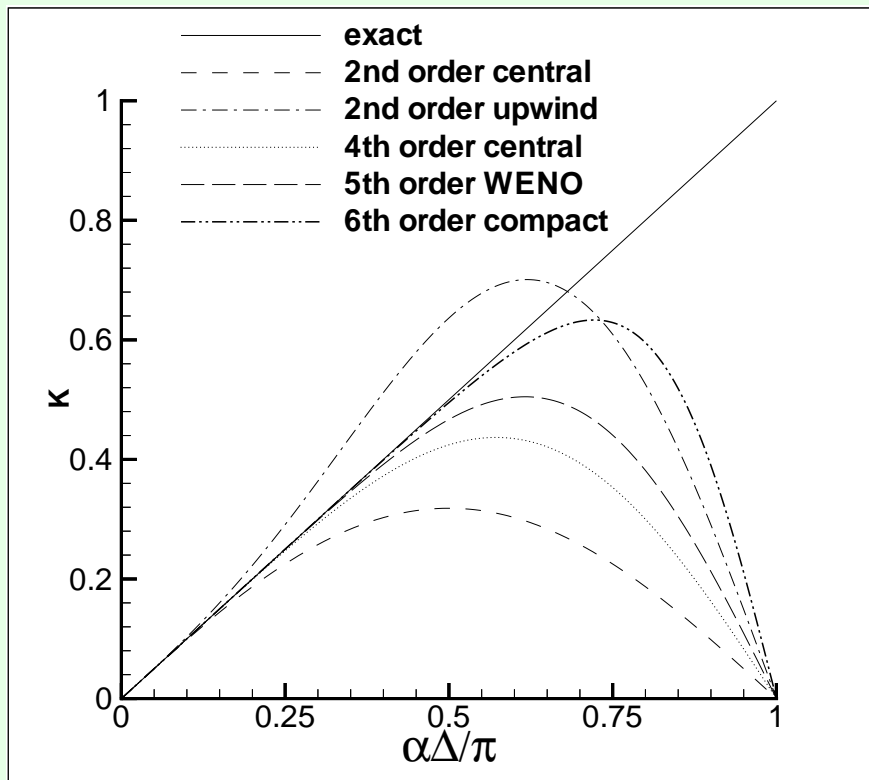
С оптимальными коэффициентами WENO схема эквивалентна несимметричной схеме 5-го порядка:

$$\frac{\partial f}{\partial x} = \frac{-3f_{i+2} + 30f_{i+1} + 20f_i - 60f_{i-1} + 15f_{i-2} - 2f_{i-3}}{60\Delta x}$$

При $\lambda = \partial f / \partial u \leq 0$ используются симметрично отраженные формулы.

Дисперсионные и диссипативные свойства

Точное дифференцирование: $\frac{d}{dx}e^{i\alpha x} = i\alpha e^{i\alpha x}$, разностная аппроксимация $= i\alpha'(\alpha, \Delta) e^{i\alpha x}$,
 $\alpha' = k + iD$, Δ – шаг сетки.



Системы законов сохранения

$$\mathbf{u}_t + \mathbf{f}_x = 0, \quad \mathbf{A}(\mathbf{u}) = \partial \mathbf{f} / \partial \mathbf{u} = \mathbf{R}^{-1}(\mathbf{u}) \Lambda(\mathbf{u}) \mathbf{R}(\mathbf{u})$$

- Найдем среднее состояние $\tilde{\mathbf{U}}_{j+1/2}$ (обычно с помощью усреднения по Rou)
- Определим локальные характеристические переменные

$$\overline{\mathbf{W}}_{j-r} = \tilde{\mathbf{R}}_{j+1/2}^{-1} \overline{\mathbf{U}}_{j-r}, \quad \dots, \quad \overline{\mathbf{W}}_{j+s} = \tilde{\mathbf{R}}_{j+1/2}^{-1} \overline{\mathbf{U}}_{j+s}.$$

- Реконструкцию делаем в локальном характеристическом поле:

$$\overline{\mathbf{W}}_j \rightarrow \mathbf{W}_{j+1/2}^{L,R}$$

- Обратное преобразование к физическим переменным

$$\mathbf{U}_{j+1/2}^{L,R} = \tilde{\mathbf{R}}_{j+1/2} \mathbf{W}_{j+1/2}^L$$

- В случае конечноразностных (W)ENO схем реконструкция применяется к локальным характеристическим потокам:

$$\Phi_{j-r} = \tilde{\mathbf{R}}_{j+1/2}^{-1} \mathbf{f}_{j-r}, \quad \dots, \quad \Phi_{j+s} = \tilde{\mathbf{R}}_{j+1/2}^{-1} \mathbf{f}_{j+s}.$$

Способы расщепления потока

$$\Phi = \{\Phi^\alpha\}, \quad \alpha = 1, \dots, n, \quad \tilde{\Lambda} = \text{diag}\{\tilde{\lambda}_{i+1/2}^\alpha\}, \quad \alpha = 1, \dots, n,$$

- Расщепление Рунге

$$\Phi_i^{\alpha+} = \begin{cases} \Phi_i^\alpha, & \tilde{\lambda}_{j+1/2}^\alpha \geq 0 \\ 0, & \tilde{\lambda}_{j+1/2}^\alpha < 0 \end{cases} \quad \Phi_i^{\alpha-} = \begin{cases} \Phi_i^\alpha, & \tilde{\lambda}_{j+1/2}^\alpha < 0 \\ 0, & \tilde{\lambda}_{j+1/2}^\alpha \geq 0 \end{cases}$$

- Локальное расщепление Лакса-Фридрихса

$$\Phi_i^{\alpha+} = (\Phi_i^\alpha + \beta W_i^\alpha)/2, \quad \Phi_i^{\alpha-} = (\Phi_i^\alpha - \beta W_i^\alpha)/2, \quad \beta = \min(\lambda_j^\alpha, \lambda_{j+1}^\alpha)$$

- Глобальное расщепление Лакса-Фридрихса

$$\Phi_i^{\alpha+} = (\Phi_i^\alpha + \beta W_i^\alpha)/2, \quad \Phi_i^{\alpha-} = (\Phi_i^\alpha - \beta W_i^\alpha)/2, \quad \beta = \min_{1 \leq m \leq N} (\lambda_m^\alpha)$$

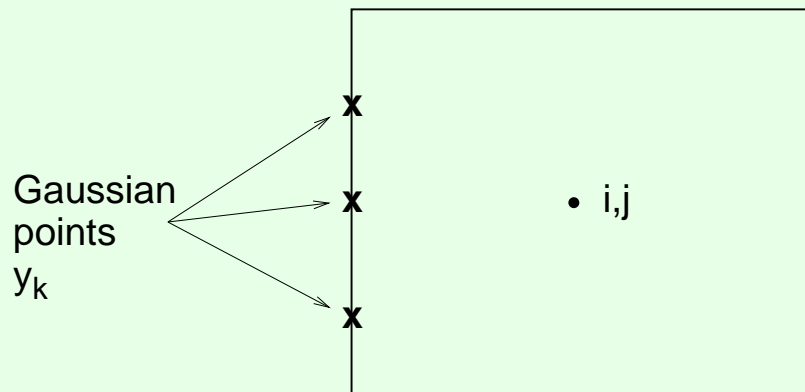
От одномерных задач к многомерным

$$\frac{\partial \mathbf{u}}{\partial t} + \frac{\partial \mathbf{f}}{\partial x} + \frac{\partial \mathbf{g}}{\partial y} = 0$$

- Конечнообъемные схемы:

$$\Delta x \Delta y \frac{\partial \bar{\mathbf{U}}_{i,j}}{\partial t} + (\mathbf{F}_{i+1/2,j} - \mathbf{F}_{i-1/2,j}) + (\mathbf{G}_{i,j+1/2} - \mathbf{G}_{i,j-1/2}) = 0$$

$$\bar{\mathbf{U}}_{i,j} = \frac{1}{\Delta x \Delta y} \int_{y_{j-1/2}}^{y_{j+1/2}} \int_{x_{i-1/2}}^{x_{i+1/2}} \mathbf{U}(x, y) dx dy$$

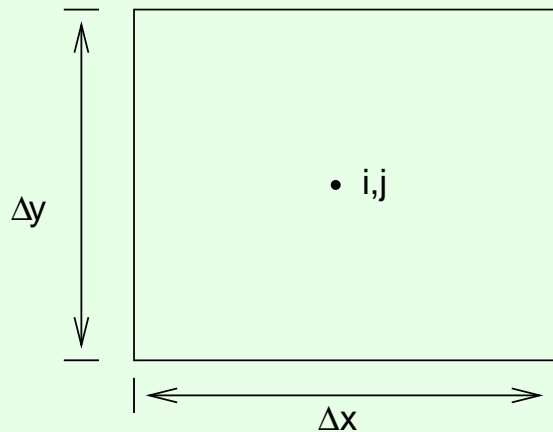


$$\mathbf{F}_{i-1/2,j} = \sum_k C_k \mathbf{F}(x_{i-1/2}, y_k)$$

От одномерных задач к многомерным

- Конечноразностные схемы:

$$\frac{\partial U_{i,j}}{\partial t} + \underbrace{\frac{\hat{\mathbf{F}}_{i+1/2,j} - \hat{\mathbf{F}}_{i-1/2,j}}{\Delta x}}_{= \frac{\partial \mathbf{F}}{\partial x}|_{i,j} + O(\Delta x^k)} + \frac{\hat{\mathbf{G}}_{i,j+1/2} - \hat{\mathbf{G}}_{i,j-1/2}}{\Delta y} = 0$$



$$\begin{aligned}\hat{\mathbf{F}}_{i+1/2,j} &= \mathbf{f}(x_{i+1/2}, y_j) + O(\Delta x^2) \\ \hat{\mathbf{F}}_{i,j+1/2} &= \mathbf{f}(x_i, y_{j+1/2}) + O(\Delta y^2)\end{aligned}$$

- Время счета для конечнообъемных схем в 3.7 раза больше, чем для конечноразностных (Casper et al., 1993)

Интегрирование по времени

$$\mathbf{u}_t + \mathbf{f}_x = 0 \quad \Rightarrow \quad \text{Пространственная дискретизация} \quad \Rightarrow \quad \mathbf{U}_t = \mathbf{L}(\mathbf{U})$$

Пусть схема устойчива и TVD при интегрировании методом Эйлера

$$\mathbf{U}^{n+1} = \mathbf{U}^n + \Delta t \mathbf{L}(\mathbf{U}^n), \quad \Delta t \leq \Delta t_1$$

Тогда можно попытаться найти методы Рунге-Кутты, также устойчивые и TVD при условии $\Delta t \leq c \Delta t_1$

- Общий метод Рунге-Кутты

$$\mathbf{U}^{(i)} = \sum_{k=0}^{i-1} \left(\alpha_{ik} \mathbf{U}^{(k)} + \Delta t \beta_{ik} \mathbf{L}(\mathbf{U}^{(k)}) \right), \quad i = 1, \dots, m$$

$$\mathbf{U}^{(0)} = \mathbf{U}^n, \quad \mathbf{U}^{(m)} = \mathbf{U}^{n+1}$$

будет TVD схемой, если $\alpha_{ik} \geq 0$, $\beta_{ik} \geq 0$, $c = \min_{i,k} \frac{\alpha_{ik}}{\beta_{ik}}$.

TVD схемы Рунге-Кутты

Удается построить TVD схемы Рунге-Кутты вплоть до третьего порядка. При этом $c = 1$.

- Схема второго порядка

$$\begin{aligned} \mathbf{U}^{(1)} &= \mathbf{U}^n + \Delta t \mathbf{L}(\mathbf{U}^n), \\ \mathbf{U}^{n+1)} &= \frac{1}{2} \mathbf{U}^n + \frac{1}{2} \mathbf{U}^{(1)} + \frac{1}{2} \Delta t \mathbf{L}(\mathbf{U}^{(1)}) \end{aligned}$$

- Схема третьего порядка

$$\begin{aligned} \mathbf{U}^{(1)} &= \mathbf{U}^n + \Delta t \mathbf{L}(\mathbf{U}^n), \\ \mathbf{U}^{(2)} &= \frac{3}{4} \mathbf{U}^n + \frac{1}{4} \mathbf{U}^{(1)} + \frac{1}{4} \Delta t \mathbf{L}(\mathbf{U}^{(1)}) \\ \mathbf{U}^{n+1)} &= \frac{1}{3} \mathbf{U}^n + \frac{2}{3} \mathbf{U}^{(2)} + \frac{2}{3} \Delta t \mathbf{L}(\mathbf{U}^{(2)}) \end{aligned}$$

Пример: диагональная конвекция вихря

Изэнтропический вихрь переносится средним полем скорости $u = 1, v = 1$

